

S-82P5A系列

1

www.ablic.com

3节~5节电池串联用电池保护IC (二次保护用)

© ABLIC Inc., 2025 Rev.1.0_00

本IC内置高精度电压检测电路和延迟电路,是用于锂离子可充电电池的二次保护IC。通过将各节电池间短路,可适用于3节~5节电池的串联连接。

■ 特点

• 针对各节电池的高精度电压检测电路

过充电检测电压n (n = 1 ~ 5)

2.700 V ~ 4.700 V (5 mV进阶) 精度±15 mV (Ta = +25°C)

精度±20 mV (Ta = -10°C ~ +60°C)

过充电解除电压n (n = 1 ~ 5)*1

2.700 V ~ 4.700 V 精度±50 mV (Ta = +25°C)

• 仅通过内置电路即可获得过充电检测延迟时间 (不需要外接电容)

● 输出方式: CMOS输出、N沟道开路漏极输出

● 输出逻辑: 动态 "H"、动态 "L"

• 备有通过缩短延迟时间确认过充电检测电压的测试模式

● 高耐压: 绝对最大额定值28 V

● 工作电压范围广:3.6 V ~ 26 V

◆ 工作温度范围广:Ta = -40°C ~ +85°C

• 消耗电流低

工作时: 0.3 μA (典型値)、0.6 μA (最大値) (Ta = +25°C)

• 无铅 (Sn 100%)、无卤素

*1. 过充电解除电压 = 过充电检测电压 + 过充电滞后电压 (过充电滞后电压为在0 mV ~ -400 mV的范围内以50 mV为进阶单位来选择)

■ 用途

• 锂离子可充电电池

■ 封装

- TMSOP-8
- SNT-8A

■ 框图

1. CMOS输出产品

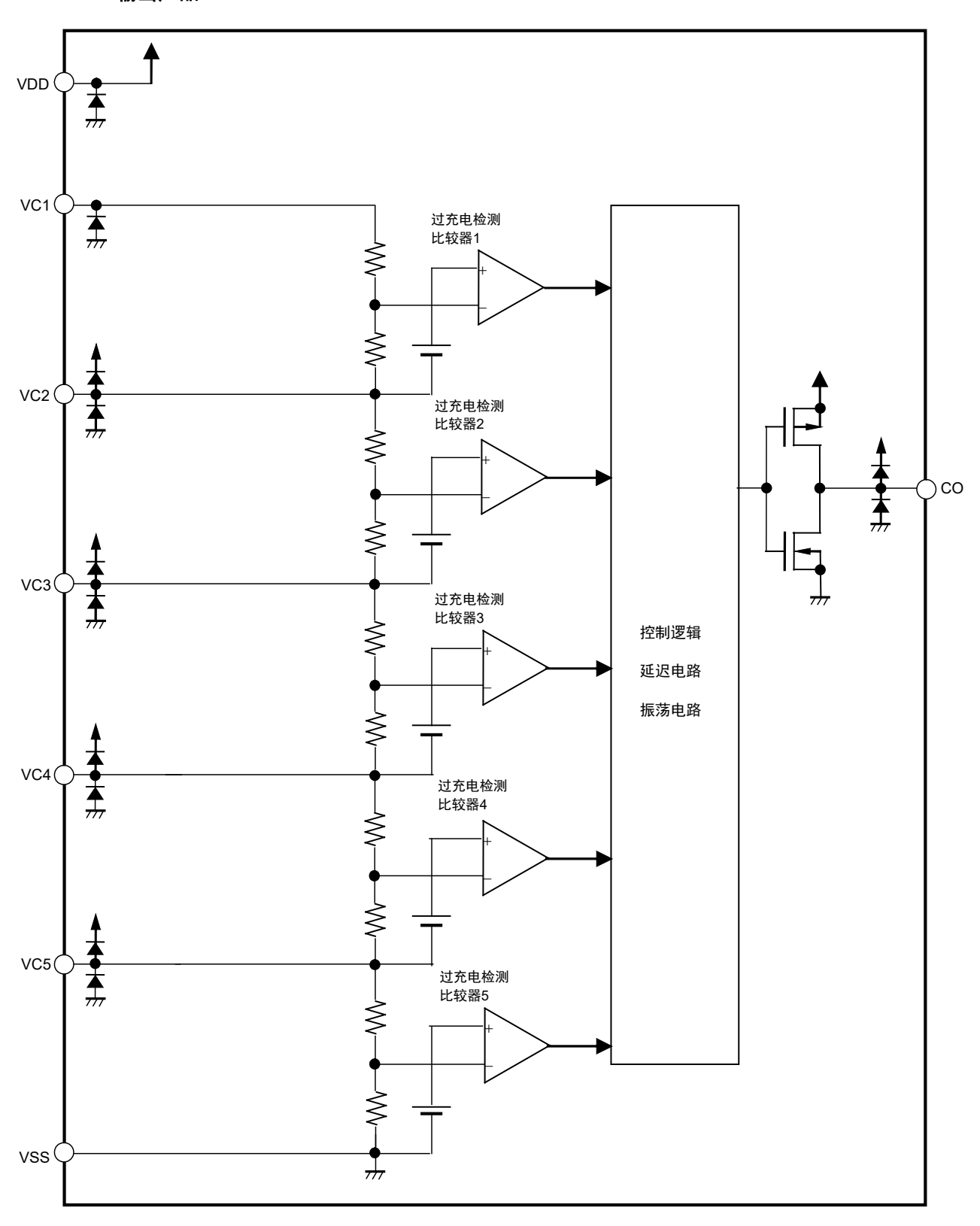
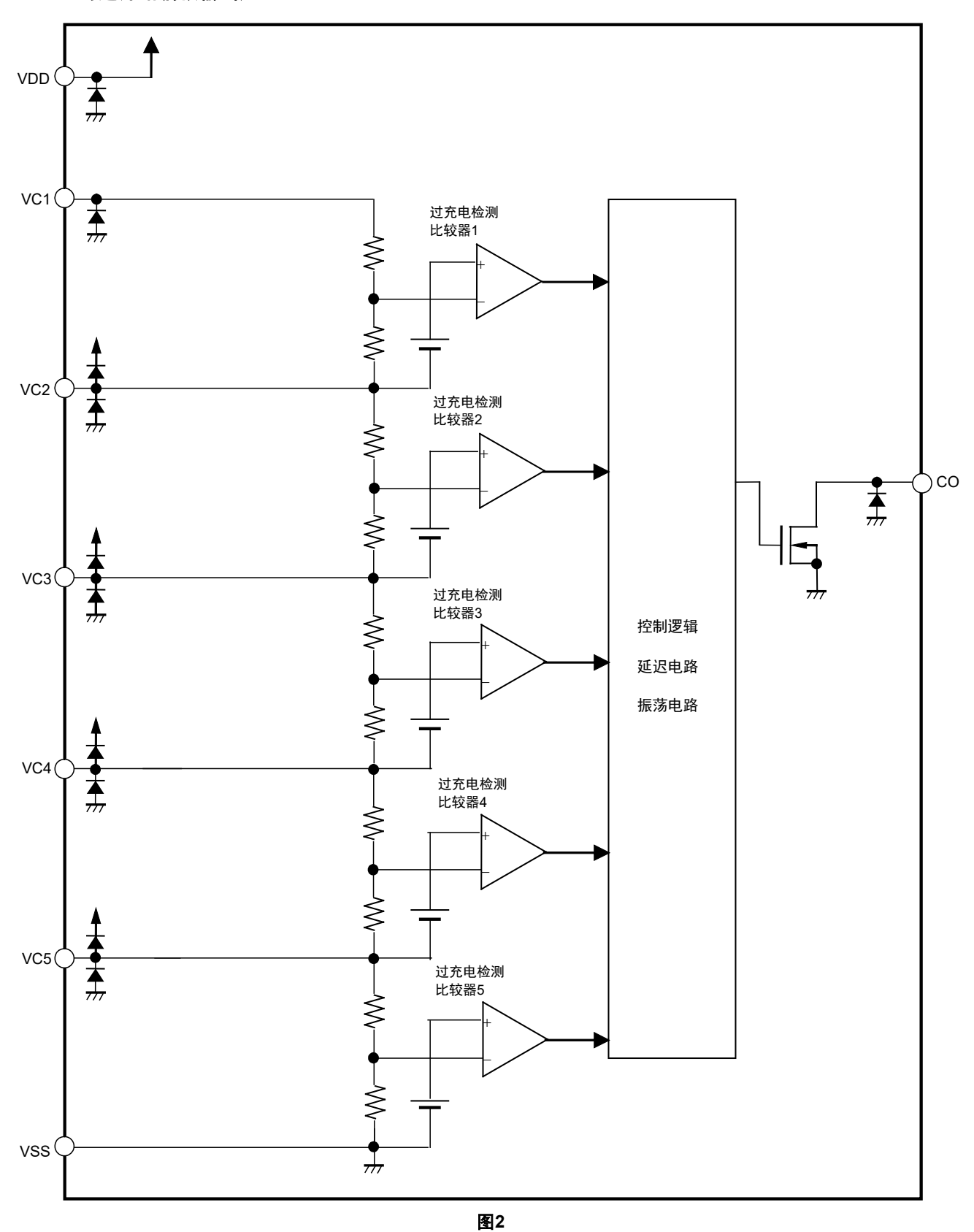


图1

备注 图中所示的二极管为寄生二极管。

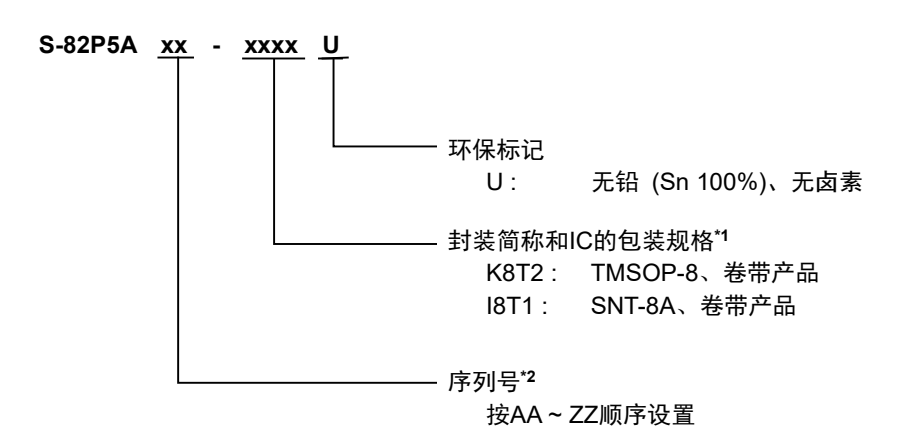
2. N沟道开路漏极输出产品



备注 图中所示的二极管为寄生二极管。

■ 产品型号的构成

1. 产品名



- *1. 请参阅卷带图。
- *2. 请参阅 "3. 产品名目录"。

2. 封装

表1 封装图纸号码

| 封装名 | 外形尺寸图 | 卷带图 | 带卷图 | 焊盘图 |
|---------|--------------|--------------|--------------|--------------|
| TMSOP-8 | FM008-A-P-SD | FM008-A-C-SD | FM008-A-R-SD | _ |
| SNT-8A | PH008-A-P-SD | PH008-A-C-SD | PH008-A-R-SD | PH008-A-L-SD |

3. 产品名目录

3.1 TMSOP-8

表2 (1/2)

| 产品名 | 过充电检测电压 | 过充电解除电压 | 过充电检测延迟时间 | 过充电解除延迟时间 |
|-----------------|--------------------|--------------------|--------------------|--------------------|
| | [V _{CU}] | [V _{CL}] | [t _{CU}] | [t _{CL}] |
| S-82P5AAA-K8T2U | 3.300 V | 3.100 V | 2 s | 64 ms |

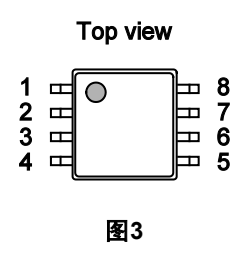
表2 (2/2)

| 产品名 | 输出方式 | 输出逻辑 |
|-----------------|--------|--------|
| S-82P5AAA-K8T2U | CMOS输出 | 动态 "H" |

备注 如果需要上述以外的产品时,请向代理商咨询。

■ 引脚排列图

1. TMSOP-8



| 引脚号 | 符号 | 描述 |
|-----|-----|-------------------------|
| 1 | VDD | 正电源输入端子 |
| 2 | VC1 | 电池1的正电压连接端子 |
| 3 | VC2 | 电池1的负电压连接端子、电池2的正电压连接端子 |
| 4 | VC3 | 电池2的负电压连接端子、电池3的正电压连接端子 |
| 5 | VC4 | 电池3的负电压连接端子、电池4的正电压连接端子 |
| 6 | VC5 | 电池4的负电压连接端子、电池5的正电压连接端子 |
| 7 | VSS | 负电源输入端子、电池5的负电压连接端子 |
| 8 | СО | 充电控制用FET门极连接端子 |

表3

2. SNT-8A

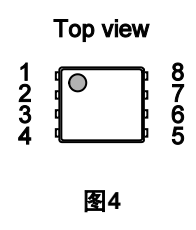


表4

| 引脚号 | 符号 | 描述 |
|-----|-----|-------------------------|
| 1 | VDD | 正电源输入端子 |
| 2 | VC1 | 电池1的正电压连接端子 |
| 3 | VC2 | 电池1的负电压连接端子、电池2的正电压连接端子 |
| 4 | VC3 | 电池2的负电压连接端子、电池3的正电压连接端子 |
| 5 | VC4 | 电池3的负电压连接端子、电池4的正电压连接端子 |
| 6 | VC5 | 电池4的负电压连接端子、电池5的正电压连接端子 |
| 7 | VSS | 负电源输入端子、电池5的负电压连接端子 |
| 8 | СО | 充电控制用FET门极连接端子 |

■ 绝对最大额定值

表5

(除特殊注明以外: Ta = +25°C)

| 项目 | | 符号 | 适用端子 | 绝对最大额定值 | 单位 |
|--------------|--------------------|------------------|--------------------|----------------------------------|----|
| VDD端子 – VSS端 | VDD端子 – VSS端子间输入电压 | | VDD | $V_{SS} - 0.3 \sim V_{SS} + 28$ | V |
| 输入端子电压 | | \/ | VC1 | $V_{SS} - 0.3 \sim V_{SS} + 28$ | V |
| | | V _{IN} | VC2, VC3, VC4, VC5 | $V_{SS}-0.3 \sim V_{DD}+0.3$ | V |
| CO端子输出电压 | CMOS输出产品 | | | $V_{SS} - 0.3 \sim V_{DD} + 0.3$ | ٧ |
| CO编于拥山电压 | N沟道开路漏极输出产品 | Vco | CO | $V_{SS} - 0.3 \sim V_{SS} + 28$ | ٧ |
| 工作环境温度 | | T _{opr} | _ | −40 ~ +85 | °C |
| 保存温度 | | T_{stg} | _ | −40 ~ +125 | °C |

注意 绝对最大额定值是指无论在任何条件下都不能超过的额定值。万一超过此额定值,有可能造成产品劣化等物理性的 损伤。

■ 热敏电阻值

表6

| 项目 | 符号 | 条件 | <u> </u> | 最小值 | 典型值 | 最大值 | 单位 |
|----------------------------|-----|---------|----------|-----|-----|-----|------|
| | | | Board A | - | 160 | 1 | °C/W |
| | | | Board B | _ | 133 | 1 | °C/W |
| | | TMSOP-8 | Board C | _ | _ | _ | °C/W |
| | ALθ | | Board D | _ | _ | _ | °C/W |
| 结至环境热阻 ^{*1} | | | Board E | _ | 1 | 1 | °C/W |
| 4年中央然图 1 | | SNT-8A | Board A | _ | 211 | 1 | °C/W |
| | | | Board B | _ | 173 | 1 | °C/W |
| | | | Board C | _ | 1 | 1 | °C/W |
| | | | Board D | _ | - | | °C/W |
| | | | Board E | _ | 1 | 1 | °C/W |

^{*1.} 测定环境: 遵循JEDEC STANDARD JESD51-2A标准

备注 关于详情,请参阅 "■ Power Dissipation" 和 "Test Board"。

■ 电气特性

表7

(除特殊注明以外: Ta = +25°C)

| | | | | (1.3.1 | | | |
|---------------------------------|-------------------|--|----------------------------|-----------------|----------------------------|----|----------|
| 项目 | 符号 | 条件 | 最小值 | 典型值 | 最大值 | 单位 | 测定 电路 |
| 検出電圧 | | | | | | | |
| 过充电检测电压n | Vcun | Ta = +25°C | V _{CU} - 0.015 | Vcu | V _{CU} + 0.015 | V | 1 |
| (n = 1, 2, 3, 4, 5) | V CUn | Ta = -10°C ~ +60°C*1 | V _{CU} - 0.020 | Vcu | Vcu + 0.020 | V | 1 |
| 过充电解除电压n (n = 1, 2, 3, 4, 5) | V _{CLn} | - | V _{CL} - 0.050 | VcL | V _{CL} + 0.050 | V | 1 |
| 输入电压 | | | | | | | |
| VDD端子 – VSS端子间工作电压 | VDSOP | _ | 3.6 | _ | 26 | V | _ |
| 输入电流 | | | | | | | |
| 工作时消耗电流 | I _{OPE} | V1 = V2 = V3 = V4 = V5 = V _{CU} × 0.75 V | _ | 0.3 | 0.6 | μΑ | 2 |
| 过放电时消耗电流 | I _{OPED} | V1 = V2 = V3 = V4 = V5 = V _{CU} × 0.4 V | _ | _ | 0.3 | μΑ | 2 |
| VC1端子输入电流 | Ivc1 | V1 = V2 = V3 = V4 = V5 = V _{CU} × 0.75 V | _ | - | 0.3 | μΑ | 3 |
| VC2端子输入电流 | I _{VC2} | V1 = V2 = V3 = V4 = V5 = V _{CU} × 0.75 V | -0.2 | 0 | 0.2 | μΑ | 3 |
| VC3端子输入电流 | I _{VC3} | V1 = V2 = V3 = V4 = V5 = V _{CU} × 0.75 V | -0.2 | 0 | 0.2 | μΑ | 3 |
| VC4端子输入电流 | I _{VC4} | V1 = V2 = V3 = V4 = V5 = V _{CU} × 0.75 V | -0.2 | 0 | 0.2 | μΑ | 3 |
| VC5端子输入电流 | I _{VC5} | V1 = V2 = V3 = V4 = V5 = V _{CU} × 0.75 V | -0.2 | 0 | 0.2 | μΑ | 3 |
| 输出电流 | | | | | | | |
| CO端子源极电流 | Ісон | _ | - | _ | -20 | μА | 4 |
| CO端子吸收电流 | I _{COL} | CMOS输出产品 | 0.4 | _ | _ | mA | 4 |
| CO端子泄漏电流 | I _{COLL} | N沟道开路漏极输出产品 | - | _ | 0.1 | μΑ | 4 |
| 延迟时间 | | | | | | | |
| 过充电检测延迟时间 | tcu | _ | tcu × 0.8 | tcu | tcu × 1.2 | s | 1 |
| 过充电解除延迟时间 | t _{CL} | _ | $t_{\text{CL}} \times 0.5$ | t _{CL} | $t_{\text{CL}} \times 1.5$ | ms | 1 |
| 过充电定时复位延迟时间 | t _{TR} | _ | 6 | 12 | 20 | ms | 1 |
| 测试模式移动时间 | t _{TST} | _ | _ | _ | 10 | ms | 1 |

^{*1.} 并没有在高温以及低温的条件下进行筛选,因此只保证在此温度范围下的设计规格。

■ 测定电路

1. 过充电检测电压n (V_{CUn})、过充电解除电压n (V_{CLn}) (测定电路1)

在设定V0 = 0 V, V1 ~ V5 = Vcu – 0.05 V后,缓慢提升V1电压,CO端子输出开始反转时V1的电压即为Vcu₁。 然后,在设定V1 = V_{CU} + 0.05 V, V2 ~ V5 = V_{CL} – 0.05 V后,缓慢降低V1电压,CO端子输出再次开始反转时V1的电压即为 V_{CL1} 。

其它的Vcun和Vcln (n = 2 ~ 5) 也可采用与n = 1时同样的方法求出。

2. 输出电流

(测定电路4)

2.1 CMOS输出产品

把SW1和SW2设定为关。

2.1.1 动态 "H"

(1) CO端子源极电流 (Ісон)

在设定V0 = 0 V, V1 = 4.8 V, V2 ~ V5 = 2.05 V, V6 = 0.5 V后, 把SW1设定为开。此时的I6电流即为 I_{COH} 。

(2) CO端子吸收电流 (IcoL)

在设定V0 = 0 V, V1 ~ V5 = 2.6 V, V7 = 0.5 V后, 把SW2设定为开。此时的I7电流即为IcoL。

2.1.2 动态 "L"

(1) CO端子源极电流 (Ісон)

在设定V0 = 0 V, V1 ~ V5 = 2.6 V, V6 = 0.5 V后,把SW1设定为开。此时的I6电流即为Iсон。

(2) CO端子吸收电流 (IcoL)

在设定V0 = 0 V, V1 = 4.8 V, V2 ~ V5 = 2.05 V, V7 = 0.5 V后, 把SW2设定为开。此时的I7电流即为 I_{COL} 。

2.2 N沟道开路漏极输出产品

把SW1和SW2设定为关。

2. 2. 1 动态 "H"

(1) CO端子泄漏电流 "L" (Icoll)

在设定V0 = 0 V, V1 = 4.8 V, V2 ~ V5 = 2.05 V, V7 = 28 V后, 把SW2设定为开。此时的I7电流即为 I_{COLL} 。

(2) CO端子吸收电流 (IcoL)

在设定V0 = 0 V, V1 ~ V5 = 2.6 V, V7 = 0.5 V后,把SW2设定为开。此时的I7电流即为IcoL。

2. 2. 2 动态 "L"

(1) CO端子泄漏电流 "L" (Icoll)

在设定V0 = 0 V, V1 ~ V5 = 2.6 V, V7 = 28 V后, 把SW2设定为开。此时的I7电流即为Icoll。

(2) CO端子吸收电流 (IcoL)

在设定V0 = 0 V, V1 = 4.8 V, V2 ~ V5 = 2.05 V, V7 = 0.5 V后, 把SW2设定为开。此时的I7电流即为Icol。

3. 过充电检测延迟时间 (tcu), 过充电解除延迟时间 (tcl) (测定电路1)

在设定V0 = 0 V, $V1 \sim V5 = 2.6 \text{ V}$ 后, 把V1电压提升至4.8 V。至CO端子输出开始反转为止的时间即为 t_{CU} 。此后, 把V1电压降低2.6 V。至CO端子输出开始反转为止的时间即为过充电解除延迟时间 (t_{CL})。

4. 过充电定时复位延迟时间 (t_{TR})

(测定电路1)

在设定V0 = 0 V, V1 ~ V5 = 2.6 V后, 先把V1电压提升至4.8 V (第一次启动上升), 在tcu内再把V1电压降低至2.6 V。然后, 再度将V1电压提升至4.8 V (第二次启动上升), 测定至CO端子输出开始反转为止的时间。

如果从V1电压降低开始到第二次启动上升为止的时间短,CO端子输出会在从第一次启动上升起至tcu以后开始反转。如果逐渐延长此时间,CO端子输出就会在从第二次启动上升起至tcu以后开始反转。从V1电压降低开始到第二次启动上升为止的时间即为trR。

5. 测试模式移动时间 (t_{TST})

(测定电路1)

在设定V0 = 0 V、V1 ~ V5 = 2.6 V后, 先把V0电压提升至4.0 V, 再把V0电压降低为0 V。

从V0电压提升开始到降低为止的时间长时,如果接着使V1 = 4.8 V,则在40 ms以内CO端子输出开始反转。从V0电压提升开始到降低为止的时间短时,如果接着使V1 = 4.8 V,则至CO端子输出开始反转为止的时间将超过40 ms。当CO端子输出开始反转的时间为40 ms以内时,从V0电压提升开始到降低为止的时间的最小值即为t_{TST}。

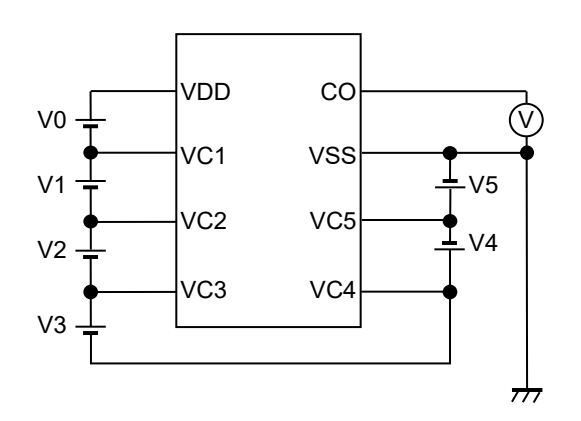


图5 测定电路1

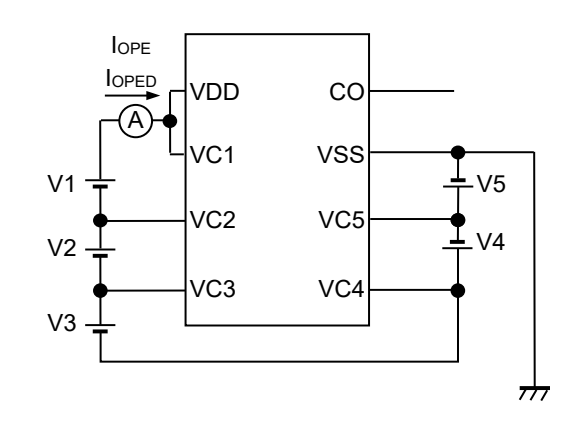


图6 测定电路2

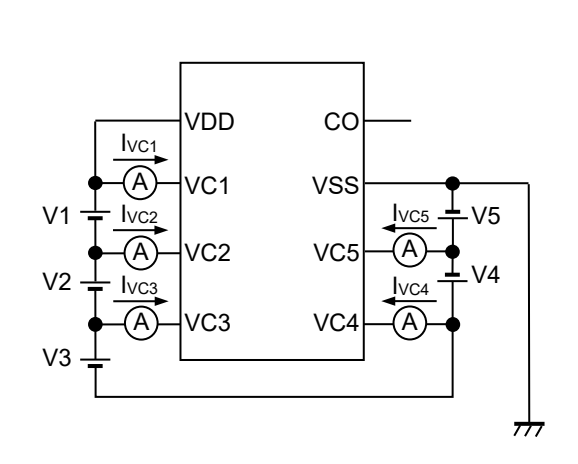


图7 测定电路3

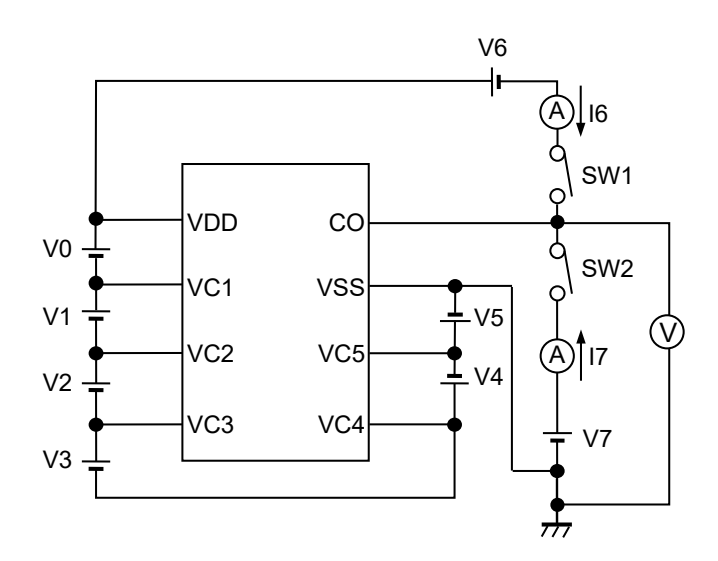


图8 测定电路4

■ 工作说明

备注 请参阅 "■ 电池保护IC的连接例"。

1. 通常状态

所有电池电压未达到过充电解除电压n (V_{CLn}) 时,CO端子的输出为 "L" (动态 "H") 或 "H" (动态 "L")。这种状态称为通常状态。

2. 过充电状态

在通常状态下进行充电时,如果任何一个电池电压超过了过充电检测电压n (Vcun),且这种状态持续保持,超过过充电检测延迟时间 (tcu) 时,CO端子的输出开始反转。这种状态称为过充电状态。通过在CO端子处连接FET,就可以进行充电控制以及二次保护。

所有电池电压低于VcLn,且这种状态持续保持在过充电解除延迟时间(tcL)以上时,就会返回通常状态。

3. 过充电定时复位功能

充电中的任何一个电池电压,在从超过Vcun开始至停止充电为止的tcu期间,定时复位功能如下运行。如果暂时有比Vcun低的过充电解除噪声输入时,过充电解除噪声的时间未达到过充电定时复位延迟时间 (tτR) 时,tcu将会继续计时。但是,在同样的状态下,如果过充电解除噪声的时间超过tτR时,tcu会解除计时。当电池电压超过Vcun之后,tcu会重新开始计时。

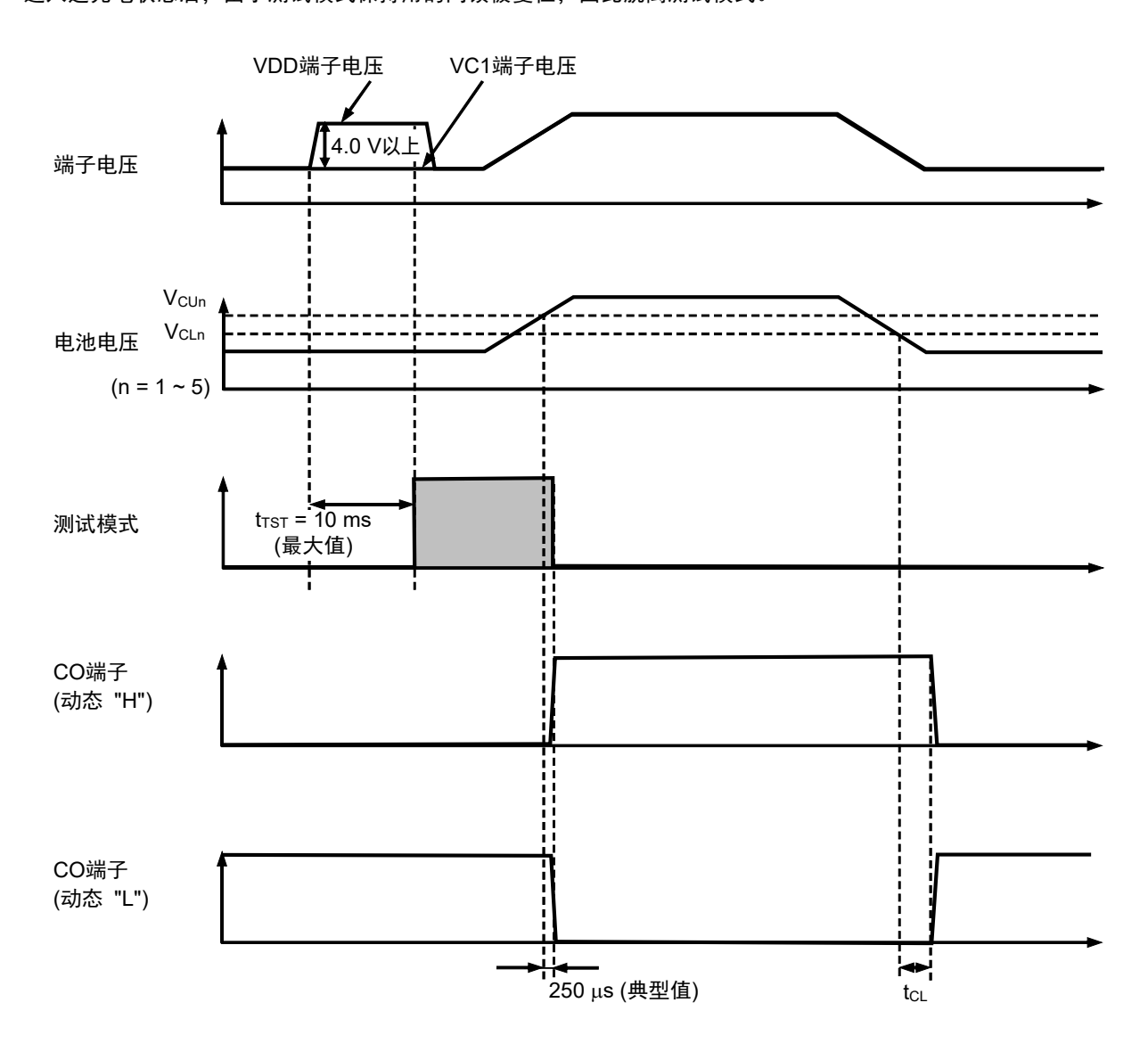
备注 n=1~5

4. 测试模式

通过测试模式的移动可缩短tcu。

当VDD端子电压比VC1端子电压高出4.0 V以上,且这种状态持续保持,超过测试模式移动时间 (t_{TST}) 时,移动至测试模式。这种状态可利用内部闩锁来保持,即使VDD端子电压恢复为与VC1端子电压相同的电压,也可以继续保持测试模式。

进入过充电状态后,由于测试模式保持用的闩锁被复位,因此脱离测试模式。



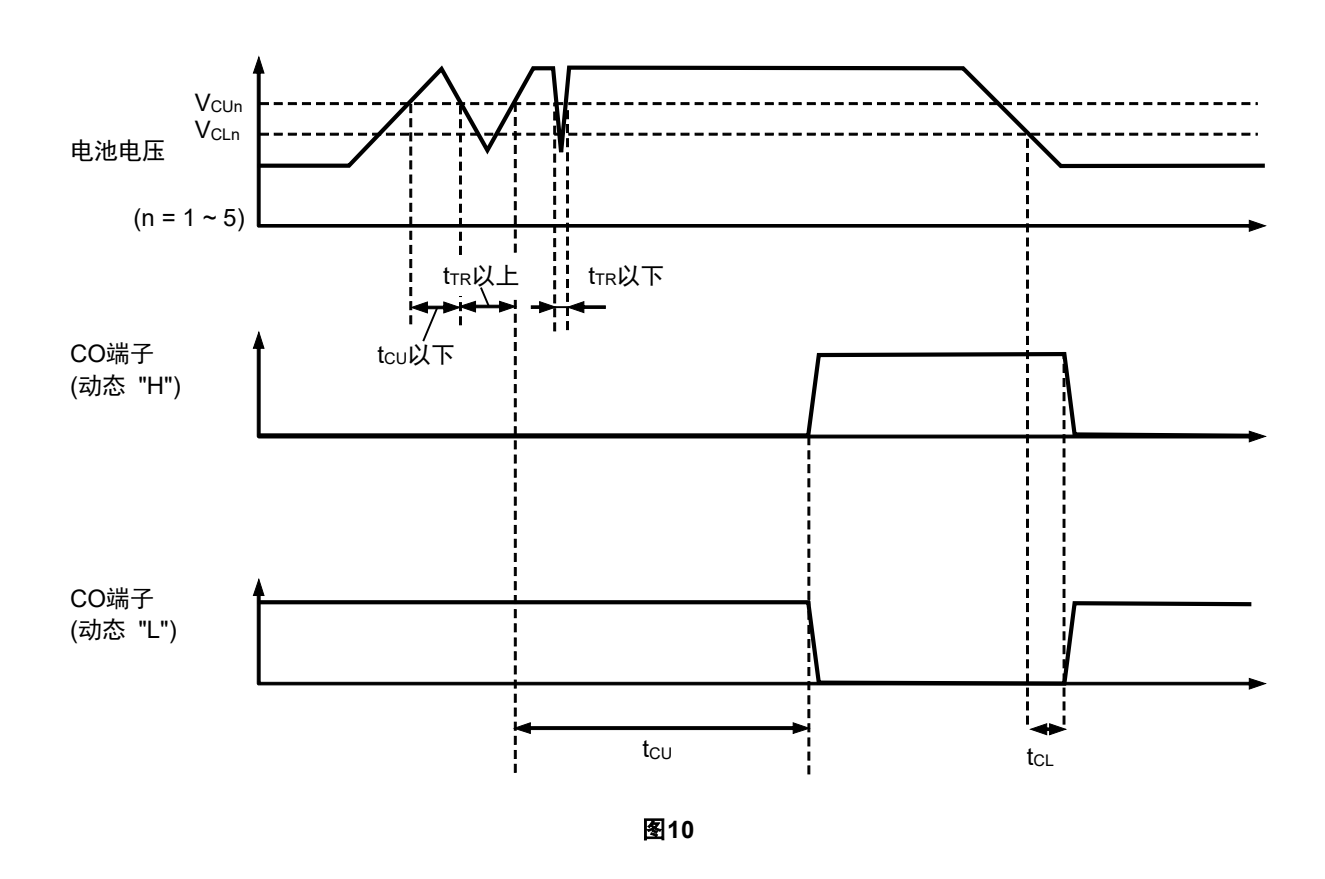
注意 1. 要移动至测试模式,必须在所有电池未达到Vcun的条件下进行。

2. 在测试模式时, 过充电定时复位延迟时间 (trr) 不会被缩短。

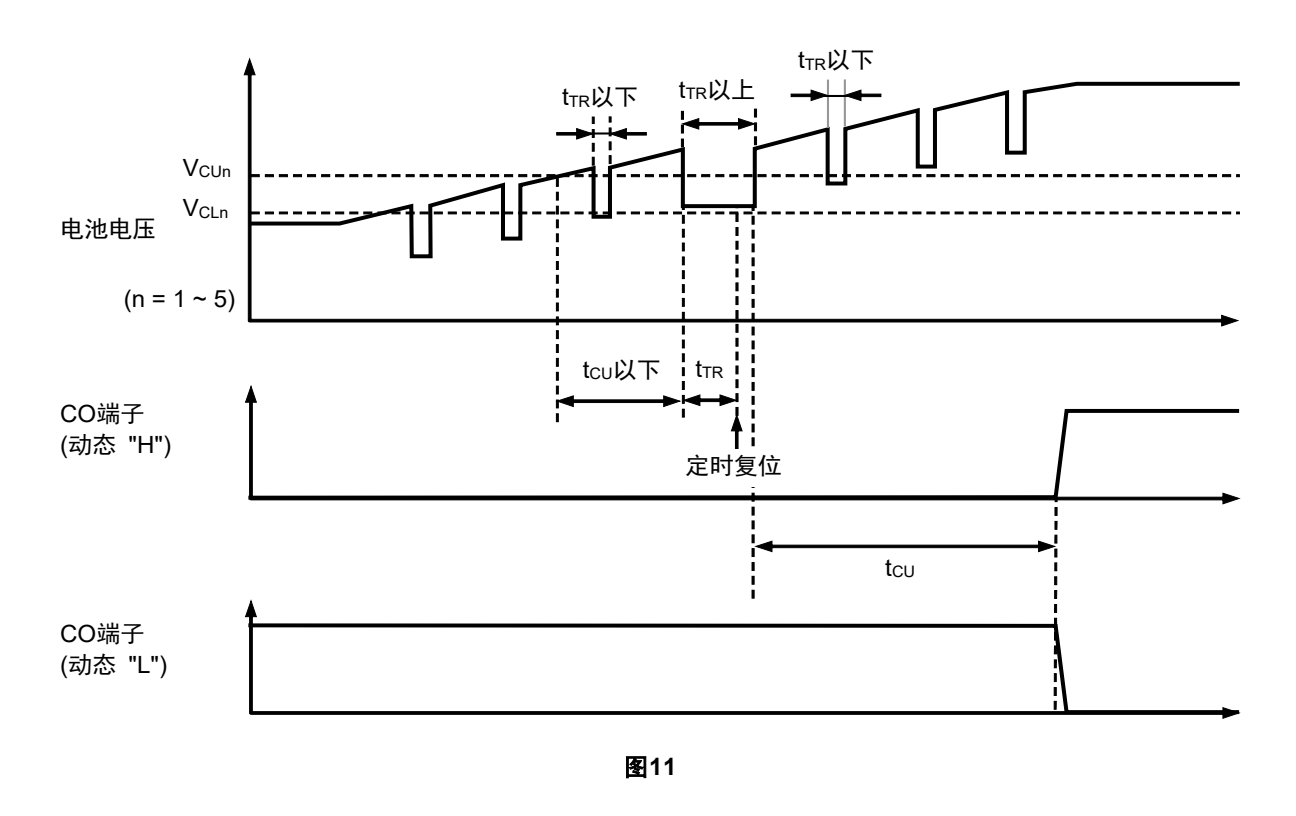
图9

■ 时序图

1. 过充电检测工作



2. 过充电定时复位工作



■ 电池保护IC的连接例

1. 5节电池串联 (CMOS输出产品)

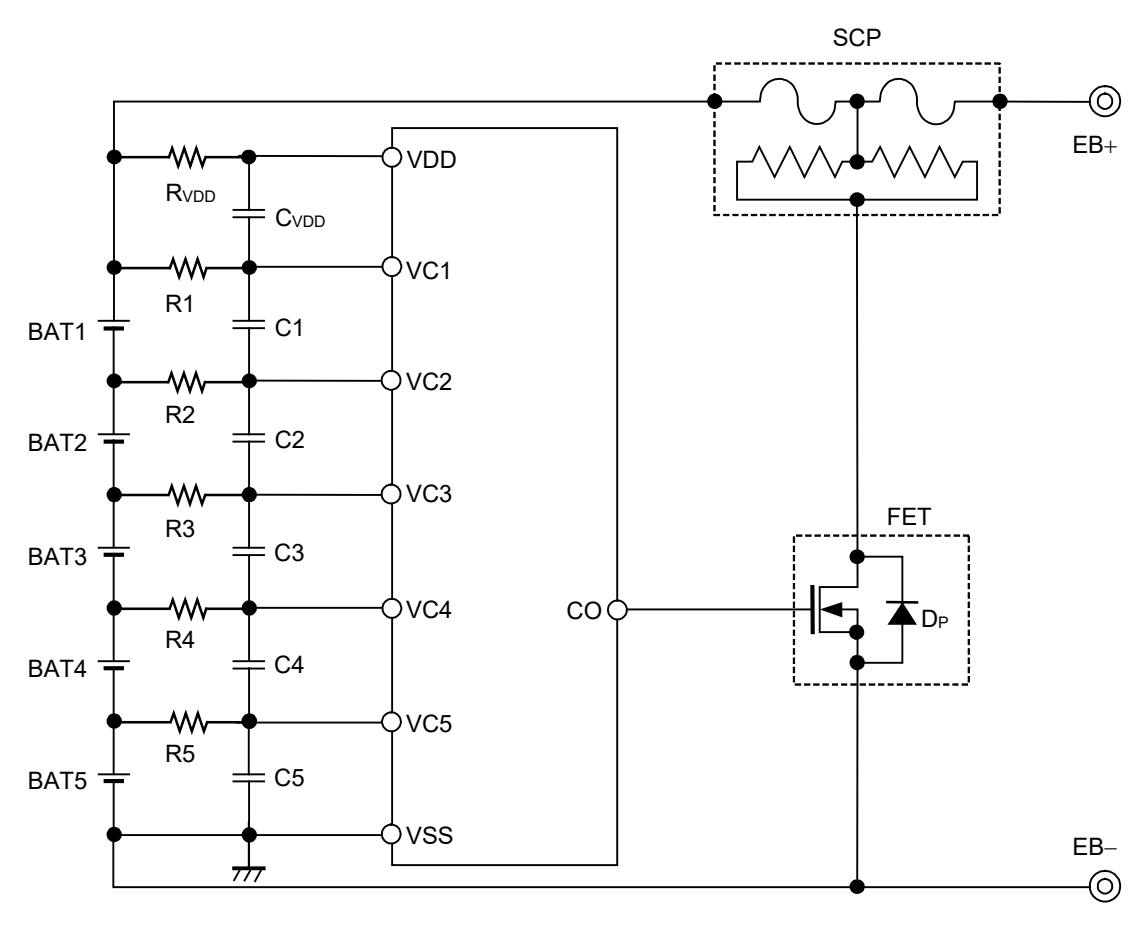


图12

表8 外接元器件参数

| No. | 符号 | 最小值 | 典型值 | 最大值 | 单位 |
|-----|---------------------------|-----|------|------|----|
| 1 | R1 ~ R5 | 100 | 1000 | 2000 | Ω |
| 2 | C1 ~ C5, C _{VDD} | 0.1 | 0.1 | 1 | μF |
| 3 | R _{VDD} | 100 | 100 | 2000 | Ω |

注意 1. 参数有可能不经预告而作更改。

- 2. 未确认连接示例以外的电路工作。连接示例和参数并不作为保证电路工作的依据。请在实际的应用电路上进行充分的实测后再设定参数。
- 3. 请将R1~R5设定为相同的参数。请将C1~C5以及CVDD设定为相同的参数。

2. 4节电池串联 (CMOS输出产品)

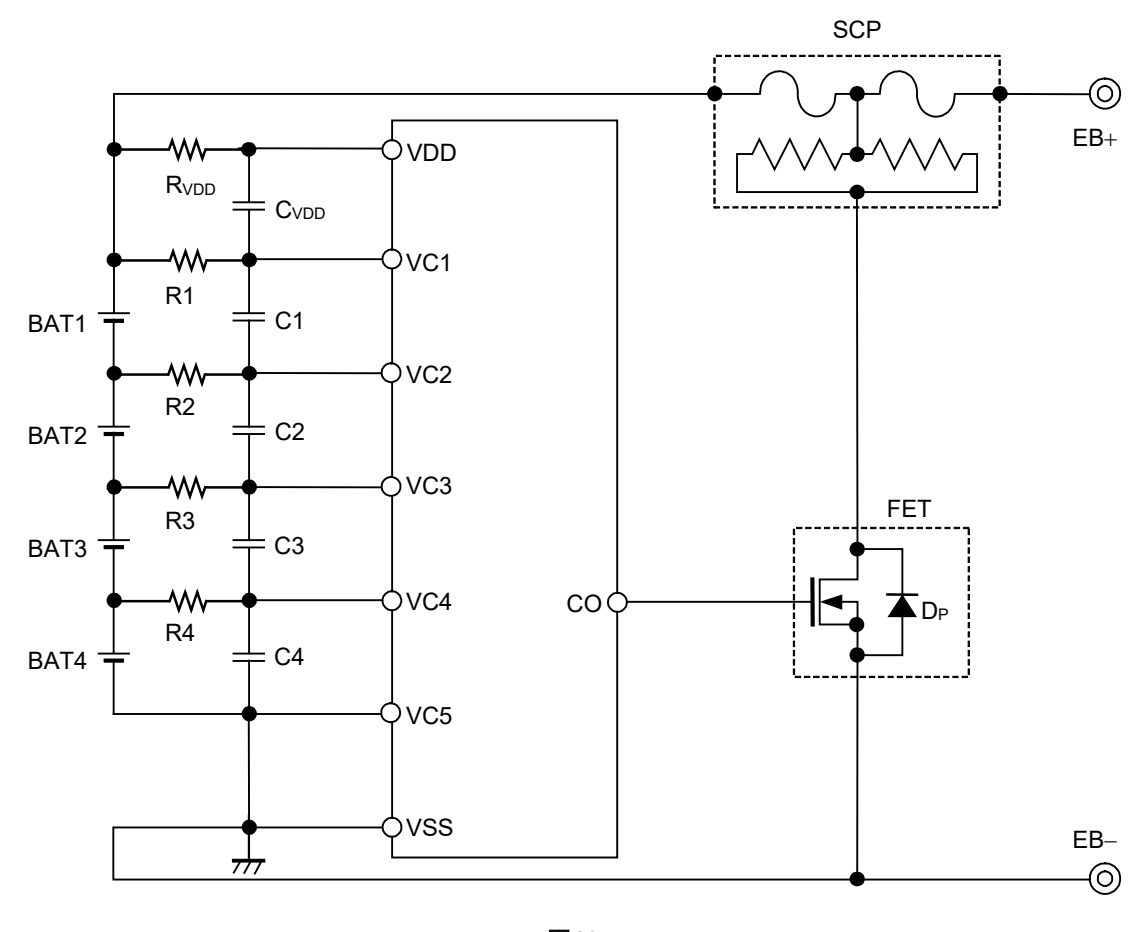


图13

表9 外接元器件参数

| No. | 符号 | 最小值 | 典型值 | 最大值 | 单位 |
|-----|---------------------------|-----|------|------|----|
| 1 | R1 ~ R4 | 100 | 1000 | 2000 | Ω |
| 2 | C1 ~ C4, C _{VDD} | 0.1 | 0.1 | 1 | μF |
| 3 | R _{VDD} | 100 | 100 | 2000 | Ω |

注意 1. 参数有可能不经预告而作更改。

- 2. 未确认连接示例以外的电路工作。连接示例和参数并不作为保证电路工作的依据。请在实际的应用电路上进行充分的实测后再设定参数。
- 3. 请将R1~R4设定为相同的参数。请将C1~C4以及CVDD设定为相同的参数。

3. 3节电池串联 (CMOS输出产品)

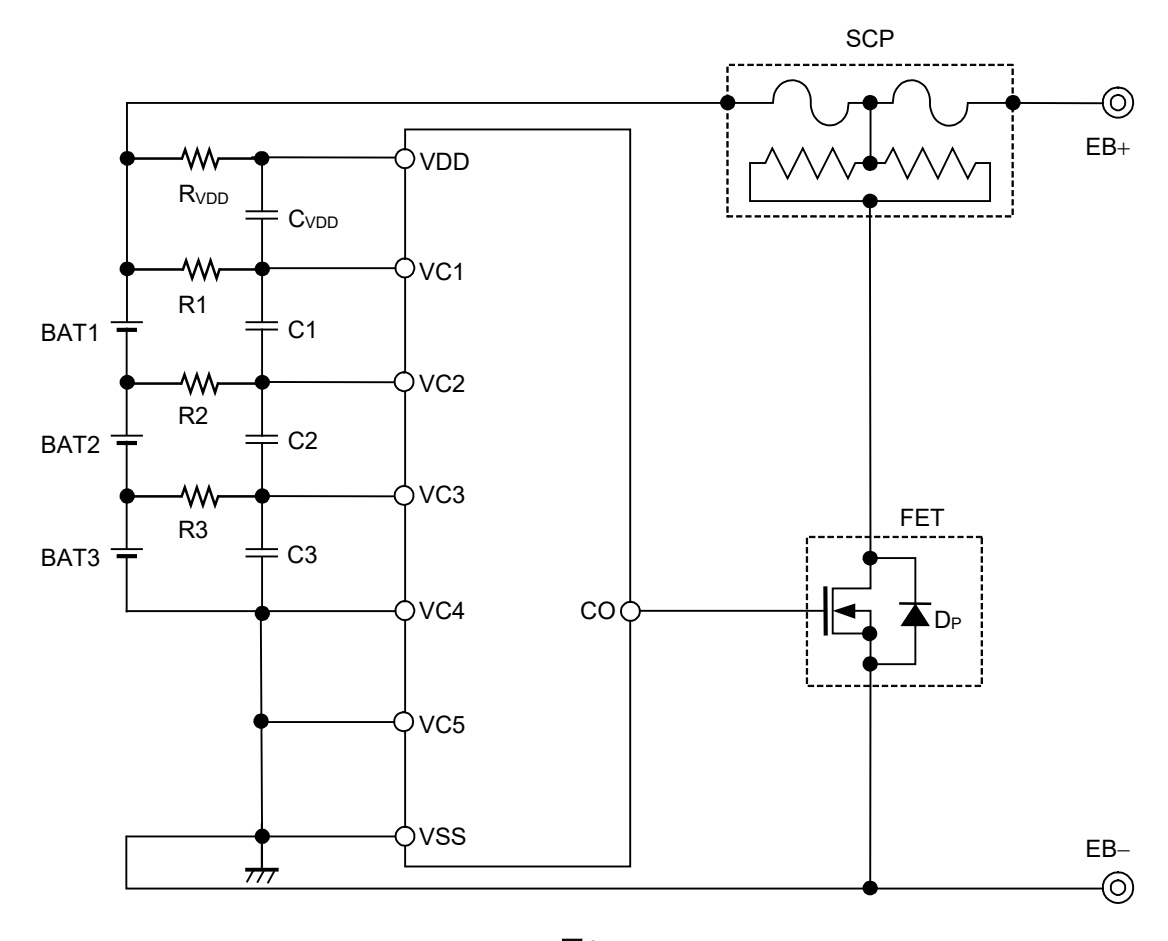


图14

表10 外接元器件参数

| No. | 符号 | 最小值 | 典型值 | 最大值 | 单位 |
|-----|---------------------------|-----|------|------|----|
| 1 | R1 ~ R3 | 100 | 1000 | 2000 | Ω |
| 2 | C1 ~ C3, C _{VDD} | 0.1 | 0.1 | 1 | μF |
| 3 | R _{VDD} | 100 | 100 | 2000 | Ω |

注意 1. 参数有可能不经预告而作更改。

- 2. 未确认连接示例以外的电路工作。连接示例和参数并不作为保证电路工作的依据。请在实际的应用电路上进行充分的实测后再设定参数。
- 3. 请将R1~R3设定为相同的参数。请将C1~C3以及CVDD设定为相同的参数。

【有关SCP的咨询处】

Dexerials Corporation Tokyo Office

Address: Mitsui Sumitomo Kaijo Tepco Building 9F, 1-6-1

Kyobashi, Chuo-ku, Tokyo, 104-0031, Japan

TEL +81-3-3538-1230 (main) http://www.dexerials.jp/en/

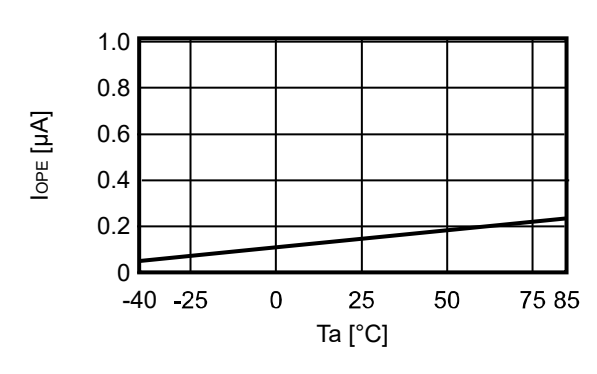
■ 注意事项

- 请不要连接VcLn以上的电池,即使所连接的电池中只有一个VcLn以上的电压,当连接了所有端子后,本IC可能会产生过充电状态。
- 根据应用电路的不同,即使是在不包含过充电电池的情况下,为了防止电池连接时输出过渡的CO检测脉冲,有可能 限制电池的连接顺序,使用时请进行充分的评价。
- "■ 电池保护IC的连接例" 图中Rvdd及R1的电池侧的端子,请在电池连接前短路。
- 请注意输入输出电压、负载电流的使用条件,以便使IC内部的功耗不超过容许功耗。
- 本IC虽内置防静电保护电路,但请不要对IC施加超过保护电路性能的过大静电。
- 使用本公司的IC生产产品时,如因其产品中对该IC的使用方法或产品的规格,或因进口国等原因,包含本IC产品在内的制品发生专利纠纷时,本公司概不承担相应责任。

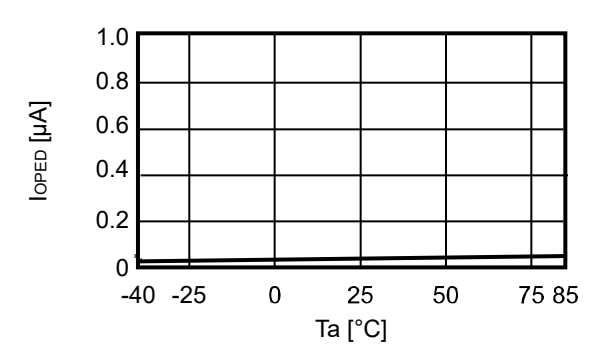
■ 各种特性数据 (典型数据)

1. 消耗电流

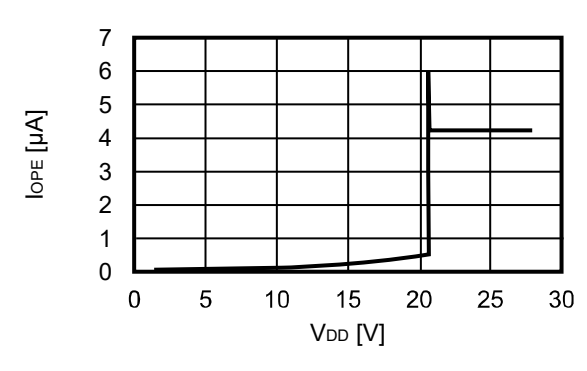
1. 1 IOPE - Ta



1. 2 IOPED - Ta

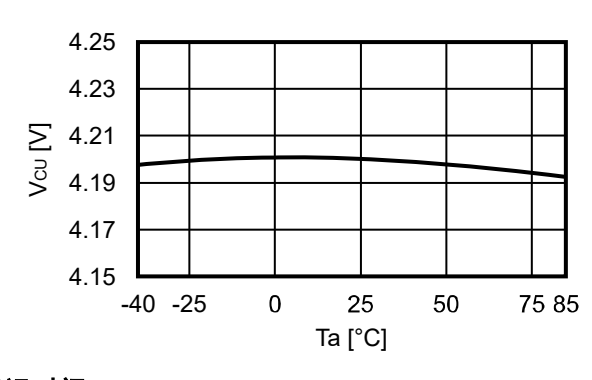


1. 3 $I_{OPE} - V_{DD}$

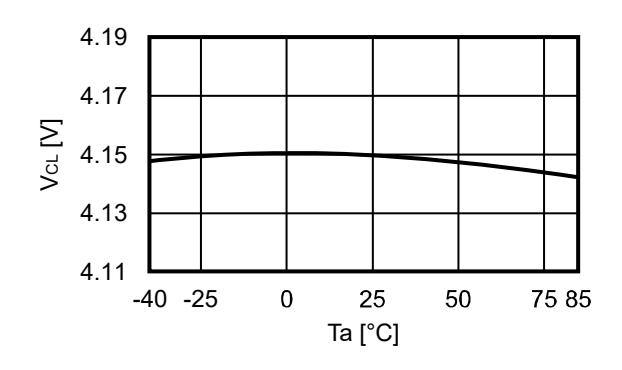


2. 检测电压

2. 1 Vcu - Ta

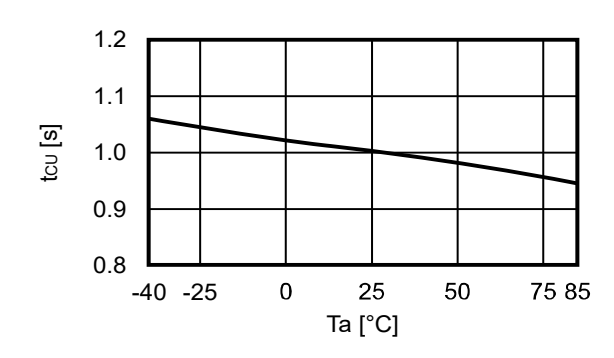


2. 2 V_{CL} - Ta

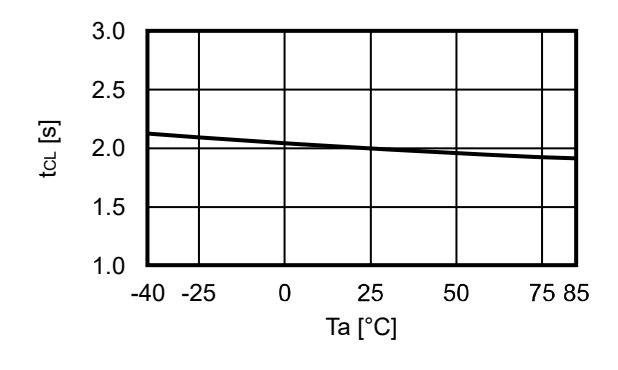


3. 延迟时间

3. 1 tcu - Ta

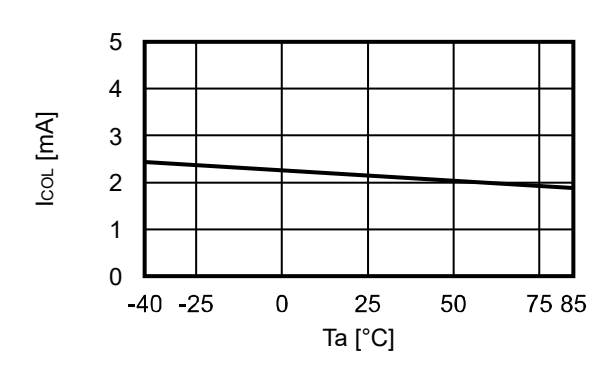


3. 2 tcL - Ta

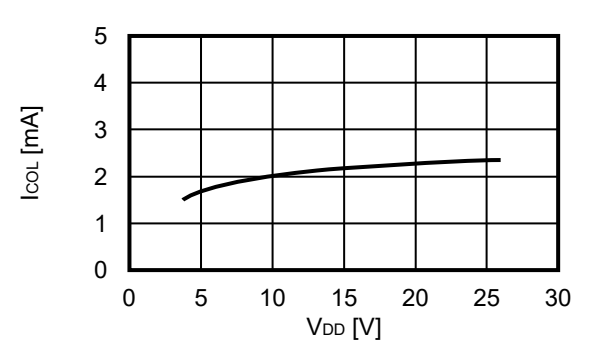


4. 输出电流

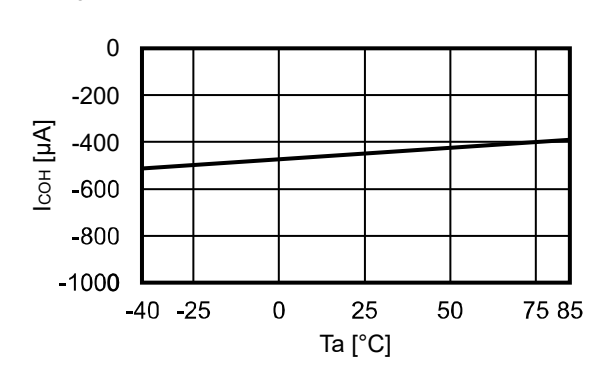
4. 1 Icol – Ta



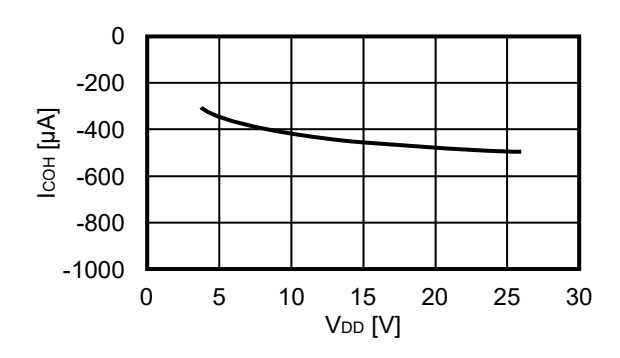
4. 2 Icol - VDD



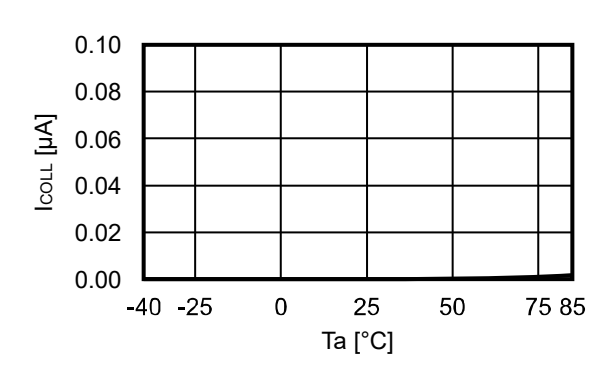
4. 3 Ісон – Та



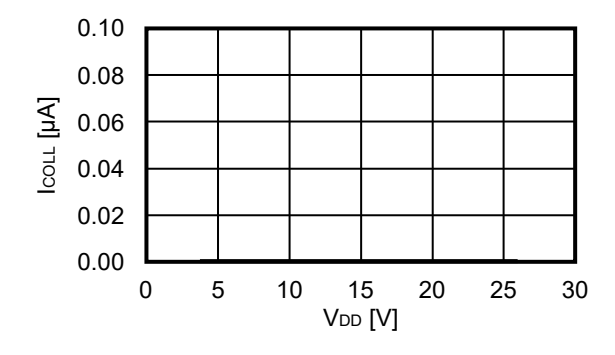
4. 4 Icon - VDD



4. 5 Icoll - Ta

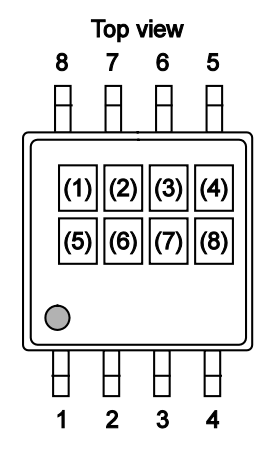


4. 6 Icoll - VDD



■ 标记规格

1. TMSOP-8



(1): 空白

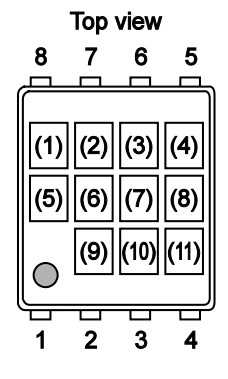
(2)~(4): 产品简称(请参阅产品名与产品简称的对照表)

(5): 空白(6)~(8): 批号

产品名与产品简称的对照表

| 立 □ 夕 | 产品简称 | | | |
|---------------------|------------|---|-----|--|
| 产品名 | (2) (3) (4 | | (4) | |
| S-82P5AAA-K8T2U | 9 | S | G | |

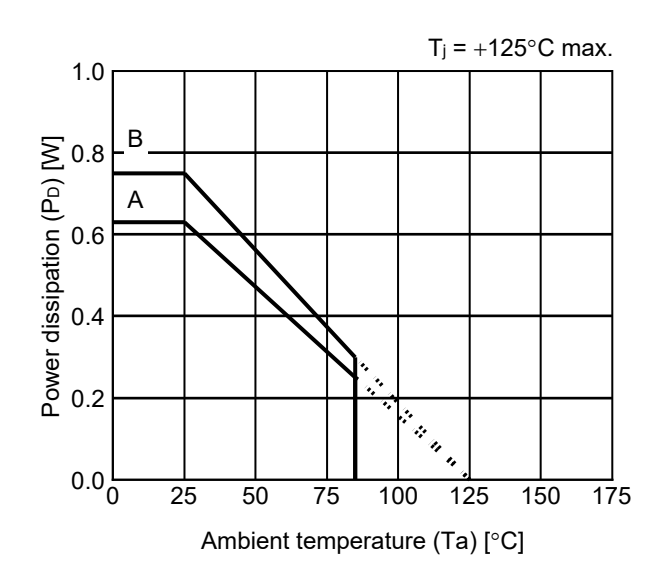
2. SNT-8A



(1): 空白 (2)~(4): 产品简称 (5),(6): 空白

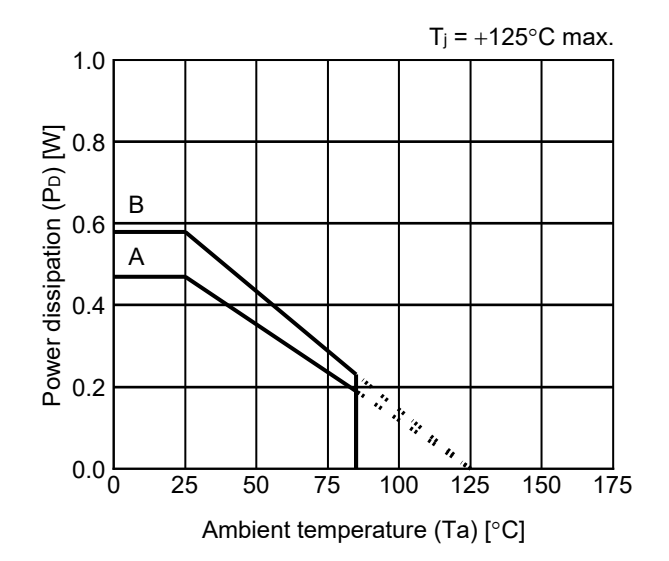
■ Power Dissipation

TMSOP-8



| Board | Power Dissipation (P _D) | | | |
|-------|-------------------------------------|--|--|--|
| Α | 0.63 W | | | |
| В | 0.75 W | | | |
| С | _ | | | |
| D | _ | | | |
| Е | _ | | | |

SNT-8A

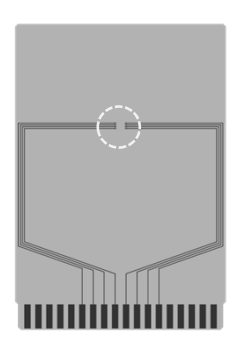


| Board | Power Dissipation (P _D) | | | |
|-------|-------------------------------------|--|--|--|
| А | 0.47 W | | | |
| В | 0.58 W | | | |
| С | _ | | | |
| D | _ | | | |
| Е | _ | | | |

TMSOP-8 Test Board

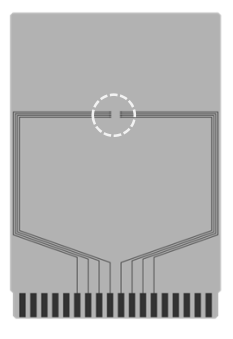
(1) Board A





| Item | | Specification | |
|-----------------------------|---|---|--|
| Size [mm] | | 114.3 x 76.2 x t1.6 | |
| Material | | FR-4 | |
| Number of copper foil layer | | 2 | |
| | 1 | Land pattern and wiring for testing: t0.070 | |
| Copper foil layer [mm] | 2 | - | |
| Copper foil layer [mm] | 3 | - | |
| | 4 | 74.2 x 74.2 x t0.070 | |
| Thermal via | | - | |

(2) Board B



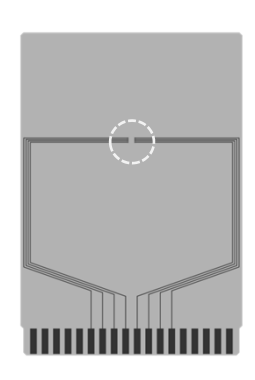
| Item | | Specification | | |
|-----------------------------|---|---|--|--|
| Size [mm] | | 114.3 x 76.2 x t1.6 | | |
| Material | | FR-4 | | |
| Number of copper foil layer | | 4 | | |
| Copper foil layer [mm] | 1 | Land pattern and wiring for testing: t0.070 | | |
| | 2 | 74.2 x 74.2 x t0.035 | | |
| | 3 | 74.2 x 74.2 x t0.035 | | |
| | 4 | 74.2 x 74.2 x t0.070 | | |
| Thermal via | | - | | |

No. TMSOP8-A-Board-SD-1.0

SNT-8A Test Board

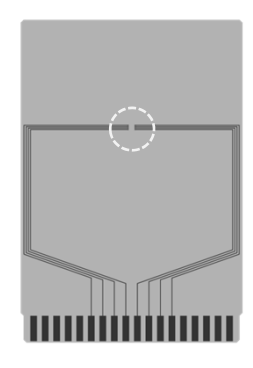
(1) Board A





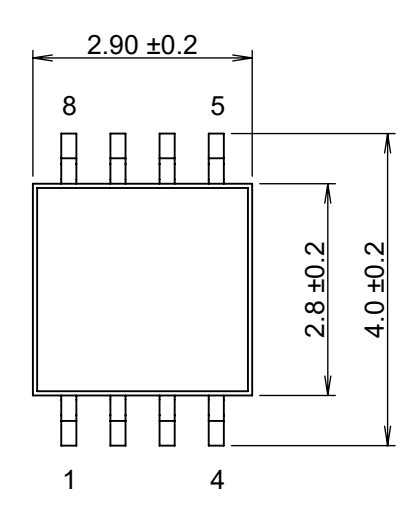
| Item | | Specification | | |
|-------------------------------|---|---|--|--|
| Size [mm] | | 114.3 x 76.2 x t1.6 | | |
| Material | | FR-4 | | |
| Number of copper foil layer 2 | | 2 | | |
| Copper foil layer [mm] | 1 | Land pattern and wiring for testing: t0.070 | | |
| | 2 | - | | |
| | 3 | - | | |
| | 4 | 74.2 x 74.2 x t0.070 | | |
| Thermal via | | - | | |

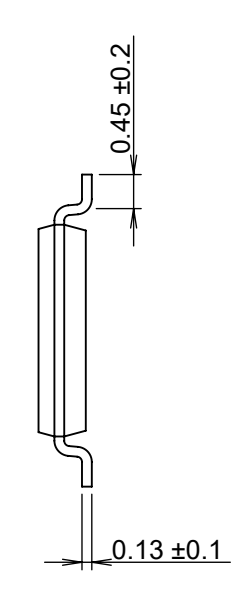
(2) Board B

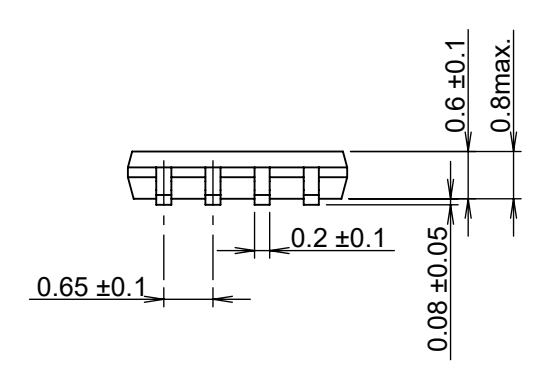


| Item | | Specification | | |
|-----------------------------|---|---|--|--|
| Size [mm] | | 114.3 x 76.2 x t1.6 | | |
| Material | | FR-4 | | |
| Number of copper foil layer | | 4 | | |
| | 1 | Land pattern and wiring for testing: t0.070 | | |
| Connor foil lover [mm] | 2 | 74.2 x 74.2 x t0.035 | | |
| Copper foil layer [mm] | 3 | 74.2 x 74.2 x t0.035 | | |
| | 4 | 74.2 x 74.2 x t0.070 | | |
| Thermal via | | - | | |

No. SNT8A-A-Board-SD-1.0

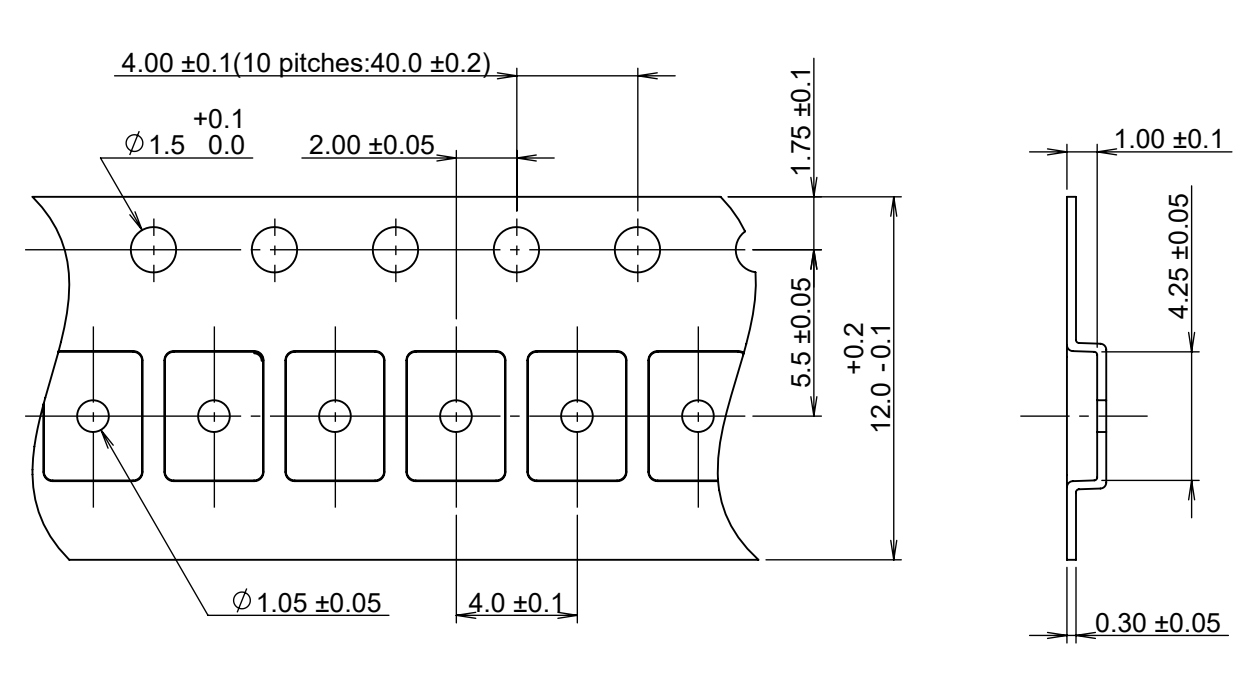


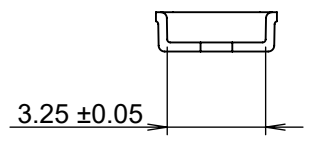


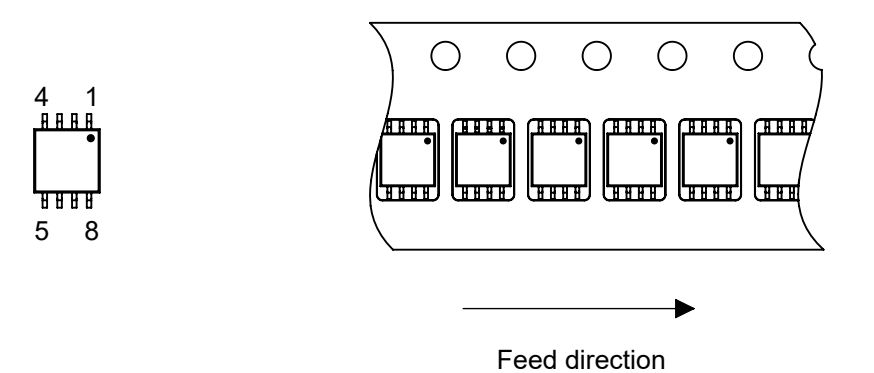


No.FM008-A-P-SD-1.2

| TITLE | TMSOP8-A-PKG Dimensions | | |
|------------|-------------------------|--|--|
| No. | FM008-A-P-SD-1.2 | | |
| ANGLE | ⊕€∃ | | |
| UNIT | mm | | |
| | | | |
| | | | |
| | | | |
| ABLIC Inc. | | | |

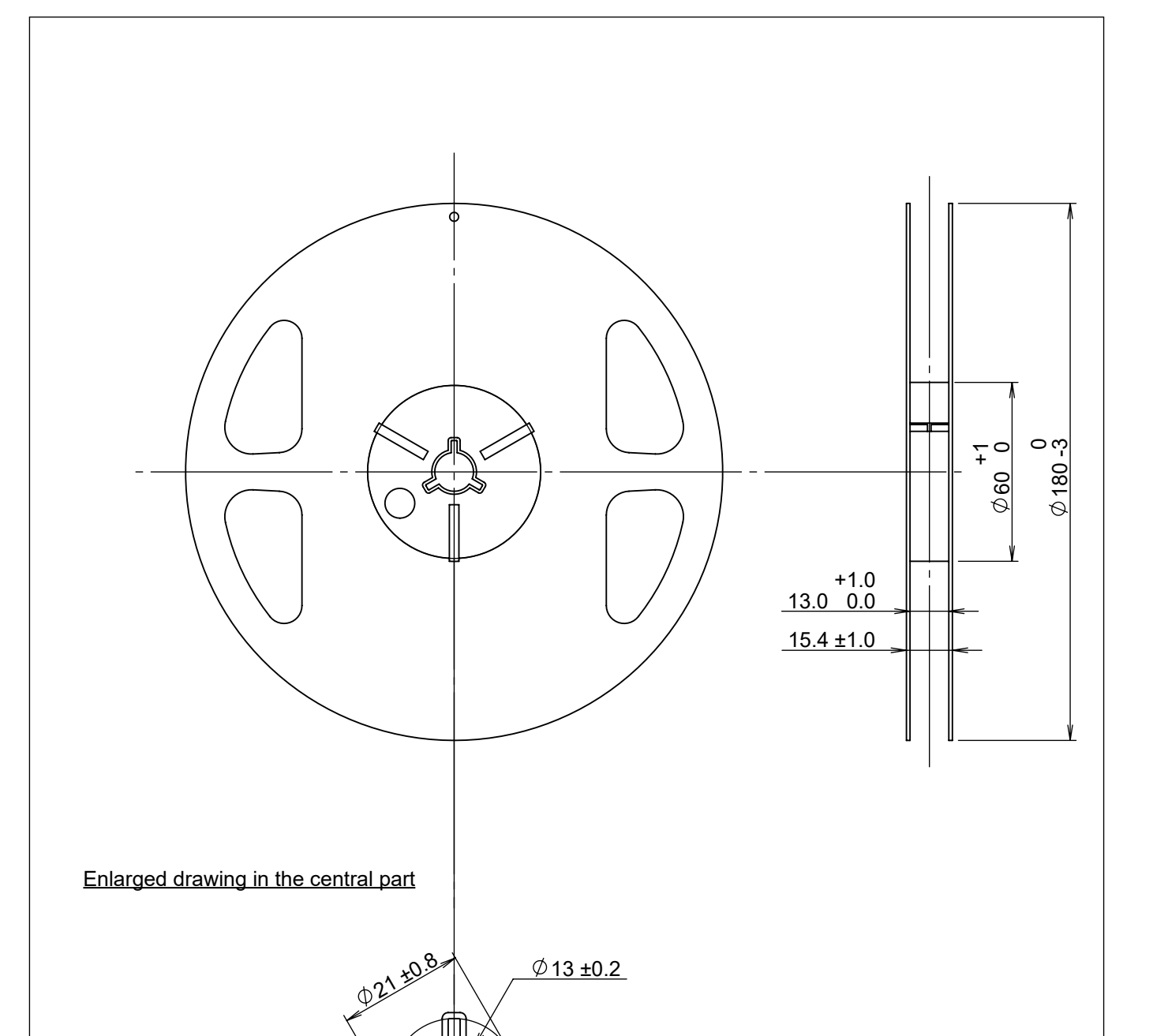






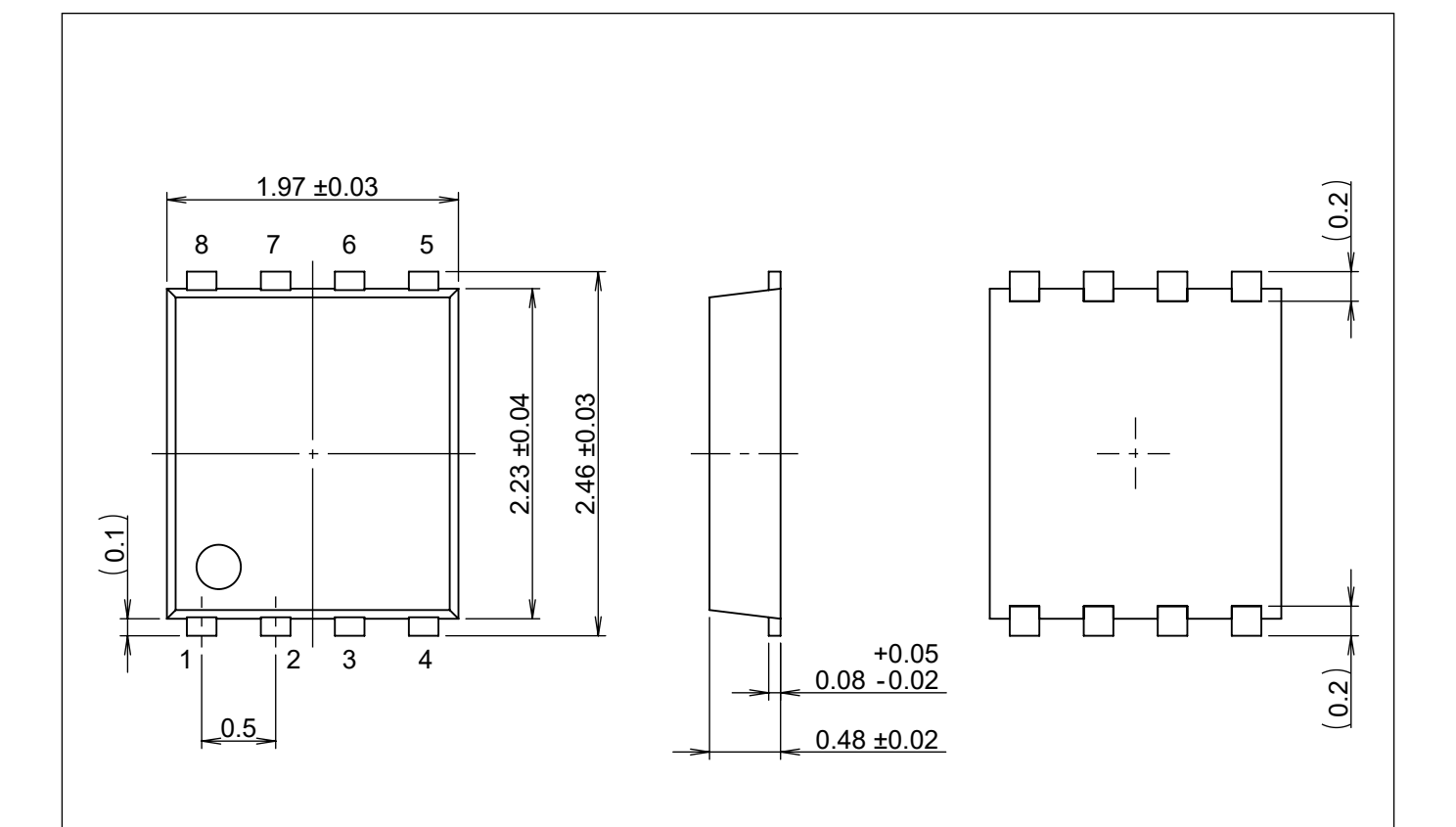
No. FM008-A-C-SD-3.0

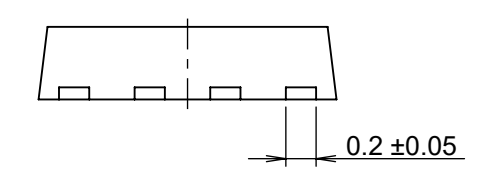
| TITLE | TMSOP8-A-Carrier Tape | | |
|------------|-----------------------|--|--|
| No. | FM008-A-C-SD-3.0 | | |
| ANGLE | | | |
| UNIT | mm | | |
| | | | |
| | | | |
| | | | |
| ABLIC Inc. | | | |



No. FM008-A-R-SD-2.0

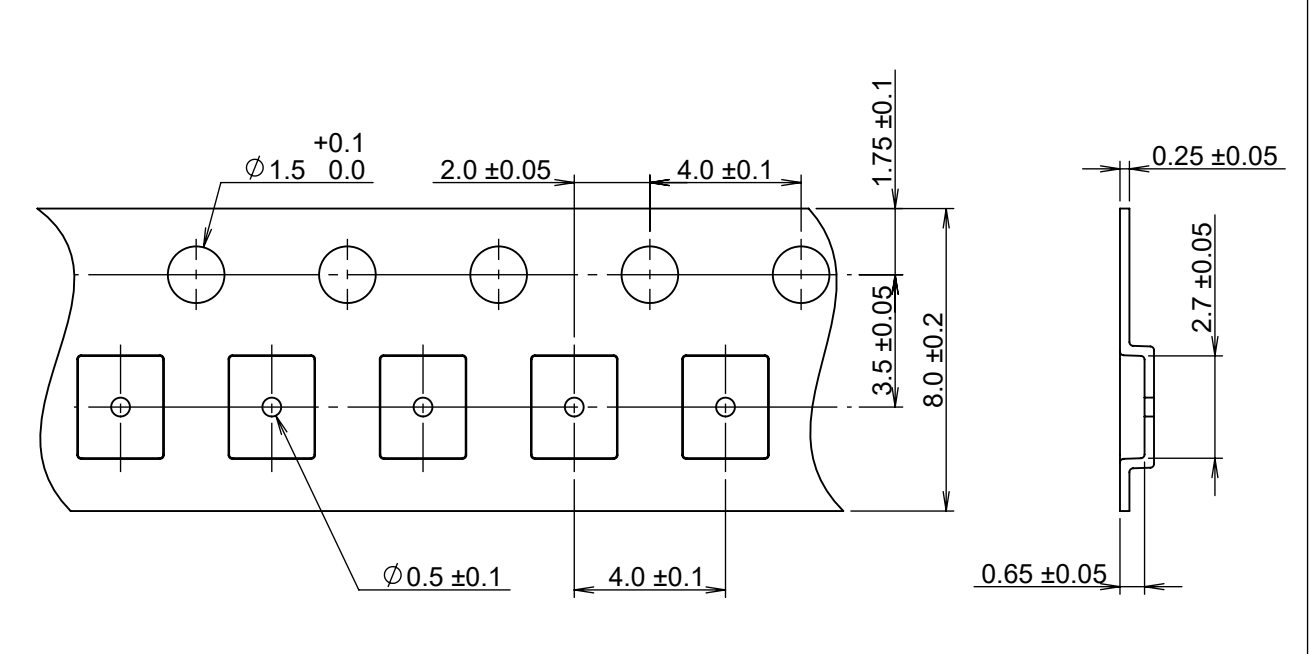
| TITLE | TMSOP8-A-Reel | | | | |
|------------|------------------|--|------|-------|--|
| No. | FM008-A-R-SD-2.0 | | | | |
| ANGLE | | | QTY. | 4,000 | |
| UNIT | mm | | | | |
| | | | | | |
| | | | | | |
| | | | | | |
| ABLIC Inc. | | | | | |

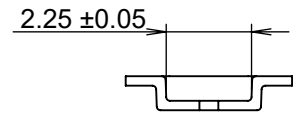


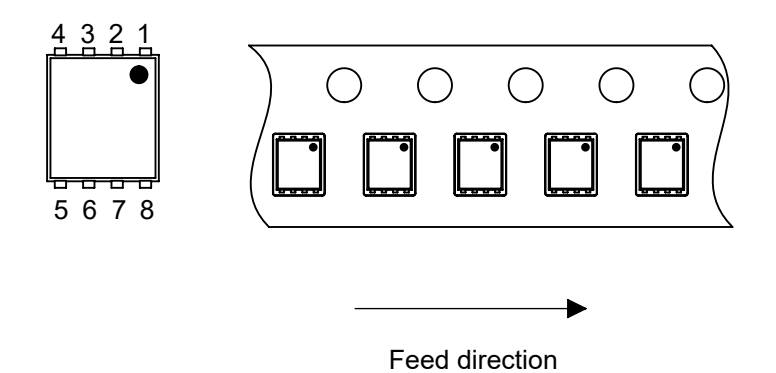


No. PH008-A-P-SD-2.1

| TITLE | SNT-8A-A-PKG Dimensions | | |
|------------|-------------------------|--|--|
| No. | PH008-A-P-SD-2.1 | | |
| ANGLE | ⊕€∃ | | |
| UNIT | mm | | |
| | | | |
| | | | |
| | | | |
| ABLIC Inc. | | | |

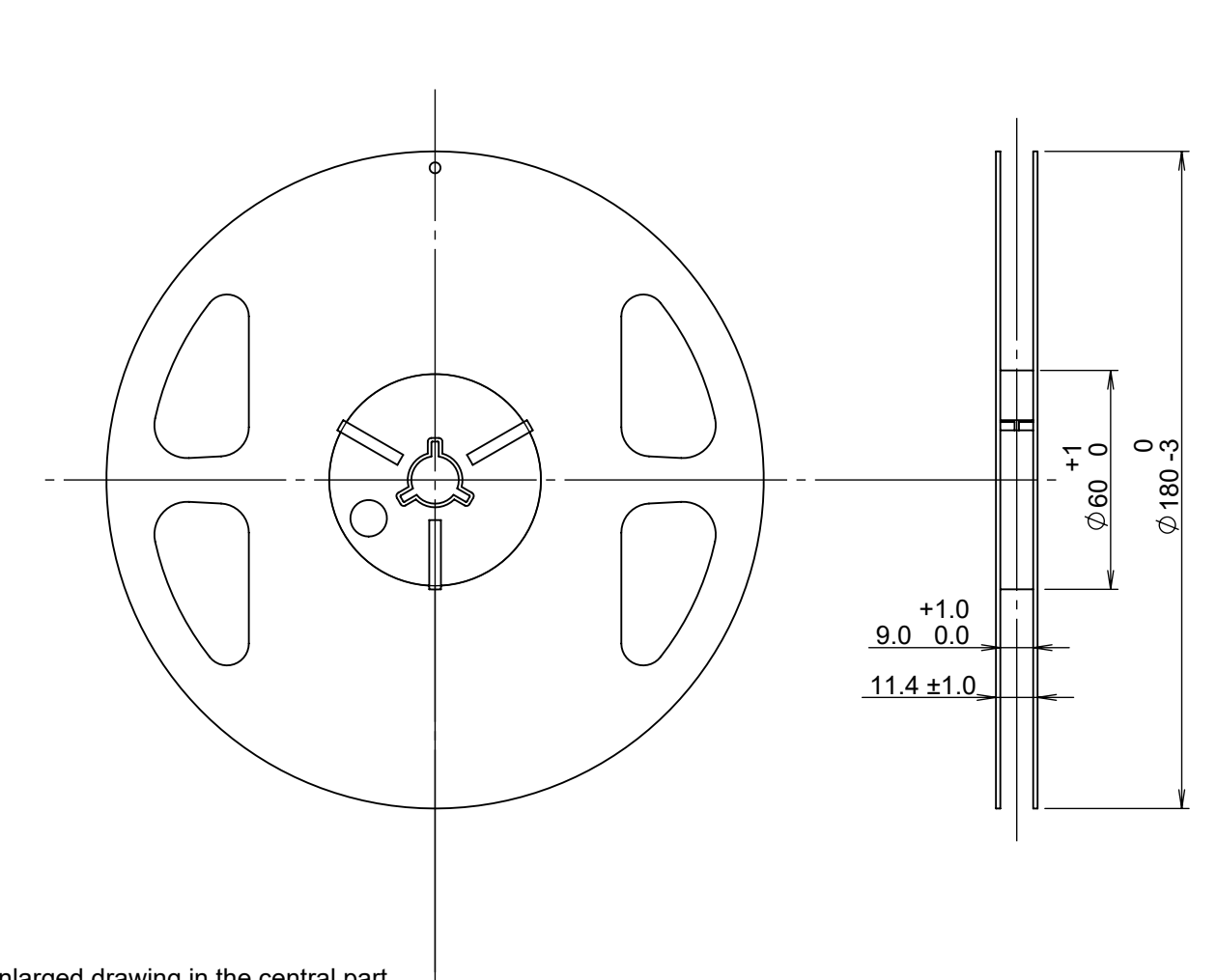




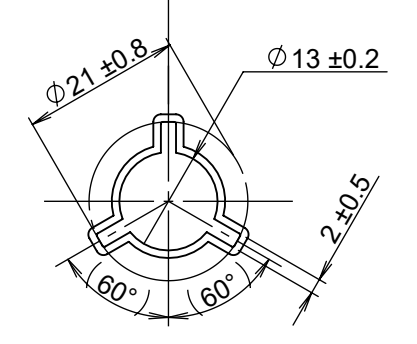


No. PH008-A-C-SD-2.0

| TITLE | SNT-8A-A-Carrier Tape | | |
|------------|-----------------------|--|--|
| No. | PH008-A-C-SD-2.0 | | |
| ANGLE | | | |
| UNIT | mm | | |
| | | | |
| | | | |
| | | | |
| ABLIC Inc. | | | |

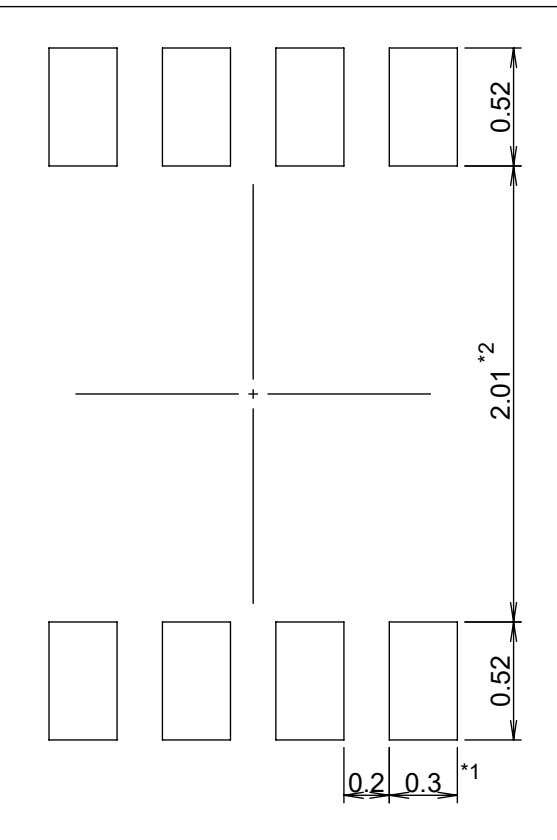


Enlarged drawing in the central part



No. PH008-A-R-SD-2.0

| TITLE | SNT-8A-A-Reel | | | |
|------------|------------------|--|------|-------|
| No. | PH008-A-R-SD-2.0 | | | |
| ANGLE | | | QTY. | 5,000 |
| UNIT | mm | | | - |
| | | | | |
| | | | | |
| | | | | |
| ABLIC Inc. | | | | |



- *1. ランドパターンの幅に注意してください (0.25 mm min. / 0.30 mm typ.)。
- *2. パッケージ中央にランドパターンを広げないでください (1.96 mm ~ 2.06 mm)。
- 注意 1. パッケージのモールド樹脂下にシルク印刷やハンダ印刷などしないでください。
 - 2. パッケージ下の配線上のソルダーレジストなどの厚みをランドパターン表面から0.03 mm以下にしてください。
 - 3. マスク開口サイズと開口位置はランドパターンと合わせてください。
 - 4. 詳細は "SNTパッケージ活用の手引き" を参照してください。
- *1. Pay attention to the land pattern width (0.25 mm min. / 0.30 mm typ.).
- *2. Do not widen the land pattern to the center of the package (1.96 mm to 2.06 mm).
- Caution 1. Do not do silkscreen printing and solder printing under the mold resin of the package.
 - 2. The thickness of the solder resist on the wire pattern under the package should be 0.03 mm or less from the land pattern surface.
 - 3. Match the mask aperture size and aperture position with the land pattern.
 - 4. Refer to "SNT Package User's Guide" for details.
- *1. 请注意焊盘模式的宽度 (0.25 mm min. / 0.30 mm typ.)。
- *2. 请勿向封装中间扩展焊盘模式 (1.96 mm ~ 2.06 mm)。
- 注意 1. 请勿在树脂型封装的下面印刷丝网、焊锡。
 - 2. 在封装下、布线上的阻焊膜厚度 (从焊盘模式表面起) 请控制在0.03 mm以下。
 - 3. 钢网的开口尺寸和开口位置请与焊盘模式对齐。
 - 4. 详细内容请参阅 "SNT封装的应用指南"。

No. PH008-A-L-SD-4.1

| | TITLE | SNT-8A-A -Land Recommendation |
|------------|-------|----------------------------------|
| | No. | PH008-A-L-SD-4.1 |
| | ANGLE | |
| | UNIT | mm |
| | | |
| | | |
| | | |
| ABLIC Inc. | | ABLIC Inc. |

免责事项 (使用注意事项)

- 1. 本资料记载的所有信息 (产品数据、规格、图、表、程序、算法、应用电路示例等) 是本资料公开时的最新信息,有可能未经预告而更改。
- 2. 本资料记载的电路示例和使用方法仅供参考,并非保证批量生产的设计。使用本资料的信息后,发生并非因本资料记载的产品(以下称本产品)而造成的损害,或是发生对第三方知识产权等权利侵犯情况,本公司对此概不承担任何责任。
- 3. 因本资料记载错误而导致的损害,本公司对此概不承担任何责任。
- 4. 请注意在本资料记载的条件范围内使用产品,特别请注意绝对最大额定值、工作电压范围和电气特性等。 因在本资料记载的条件范围外使用产品而造成的故障和(或)事故等的损害,本公司对此概不承担任何责任。
- 5. 在使用本产品时,请确认使用国家、地区以及用途的法律、法规,测试产品用途的满足能力和安全性能。
- 6. 本产品出口海外时,请遵守外汇交易及外国贸易法等的出口法令,办理必要的相关手续。
- 7. 严禁将本产品用于以及提供(出口)于开发大规模杀伤性武器或军事用途。对于如提供(出口)给开发、制造、使用或储藏核武器、生物武器、化学武器及导弹,或有其他军事目的者的情况,本公司对此概不承担任何责任。
- 8. 本产品并非是设计用于可能对生命、人体造成影响的设备或装置的部件,也非是设计用于可能对财产造成损害的设备或装置的部件(医疗设备、防灾设备、安全防范设备、燃料控制设备、基础设施控制设备、车辆设备、交通设备、车载设备、航空设备、太空设备及核能设备等)。请勿将本产品用于上述设备或装置的部件。本公司事先明确标示的车载用途例外。作为上述设备或装置的部件使用本产品时,或本公司事先明确标示的用途以外使用本产品时,所导致的损害,本公司对此概不承担任何责任。
- 9. 半导体产品可能有一定的概率发生故障或误工作。为了防止因本产品的故障或误工作而导致的人身事故、火灾事故、社会性损害等,请客户自行负责进行冗长设计、防止火势蔓延措施、防止误工作等安全设计。并请对整个系统进行充分的评价,客户自行判断适用的可否。
- 10. 本产品非耐放射线设计产品。请客户根据用途,在产品设计的过程中采取放射线防护措施。
- 11. 本产品在一般的使用条件下,不会影响人体健康,但因含有化学物质和重金属,所以请不要将其放入口中。另外,晶元和芯片的破裂面可能比较尖锐,徒手接触时请注意防护,以免受伤等。
- 12. 废弃本产品时,请遵守使用国家和地区的法令,合理地处理。
- 13. 本资料中也包含了与本公司的著作权和专有知识有关的内容。本资料记载的内容并非是对本公司或第三方的知识产权、 其它权利的实施及使用的承诺或保证。严禁在未经本公司许可的情况下转载、复制或向第三方公开本资料的一部分或全 部。
- 14. 有关本资料的详细内容等如有不明之处,请向代理商咨询。
- 15. 本免责事项以日语版为正本。即使有英语版或中文版的翻译件, 仍以日语版的正本为准。

2.4-2019.07

